



ОБЪЕДИНЕННЫЙ
ИНСТИТУТ
ЯДЕРНЫХ
ИССЛЕДОВАНИЙ

Дубна

95-210

P14-95-210

С.И.Тютюнников, В.Н.Шаляпин, Н.И.Балалыкин,
Ю.Бух, М.Ергель*, Н.Н.Скынтеев

ОПТИЧЕСКИЕ СВОЙСТВА СВЕРХПРОВОДЯЩИХ
ПЛЕНОК *YBCO*, *BSCCO*, *TBCCO* В ВИДИМОЙ
И БЛИЖНЕЙ ИНФРАКРАСНОЙ ЧАСТИ СПЕКТРА

Направлено в журнал «Сверхпроводимость:
физика, химия, техника»

*Электротехнический институт Словацкой АН, Братислава

1995

С момента открытия высокотемпературной сверхпроводимости в оксидных структурах были проведены исследования оптических характеристик, направление которых — установление фононных мод колебаний и определение величин энергетической щели [1]. Гораздо меньшее число работ было посвящено эффектам взаимодействия оптического излучения с электронной системой ВТСП-структур [2], [3]. В работе [3] были обнаружены эффекты наведенной светом фотопроводимости в пленке $YBCO$ в полуроводниковой фазе с содержанием кислорода $X = 6.4$. Исследования на пучке синхротронного излучения импульсного накопителя электронов оптических свойств пленки $YBCO$ в видимой и инфракрасной части спектра привели к обнаружению нелинейных эффектов, один из которых приводит к пороговому изменению пропускания ВТСП-пленки в видимой области в зависимости от мощности падающего излучения [4].

Целью данной работы явилось изучение оптических свойств, а именно, пропускания излучения для диапазона длин волн $0.2 < \lambda < 0.9$ мкм и мощности падающего излучения $P \cong 10^{-5} \div 1.0$ Вт для ВТСП-пленок типа $BSCCO$ $T_c = 80K$, $TBCCO$ $T_c = 87K$, $YBCO$ $T_c = 77K$. На используемой пленке $YBCO$ были проведены измерения энергетической щели в сверхпроводящем состоянии на пучке синхротронного излучения (СИ) [5].

МЕТОДИКА ЭКСПЕРИМЕНТА

Образцы для исследований были изготовлены в Электротехническом институте Словацкой академии наук. Пленки были приготовлены на подложках из MgO нанесением аэрозоля из пневматического распылителя стехиометрических водных растворов нитратов. Методика описана в работе [6].

Толщина пленок была одинаковой и составляла $\cong 1$ мкм. Все пленки были хорошо ориентированы и текстурированы. Измерение спектров пропускания ВТСП-пленок проводилось в диапазоне длин волн $\lambda = 0.2 \div 0.9$ мкм. В качестве источника излучения использовалась эталонная спектрометрическая лампа накаливания СИ 8-200У, излучение которой фокусировалось на щель монохроматора сферическим зеркалом. Сканирование по спектру производилось светосильным дифракционным монохроматором. Излучение из монохроматора МДР-2 направлялось в прокачной оптический криостат, в котором на подвижной штанге

крепились исследуемые пленки. Для контроля температуры пленки на ее поверхность приклеивалась теплопроводящим клеем термопара.

Детектором прошедшего сквозь пленку ВТСП-излучения служил фотоэлектронный умножитель ФЭУ-100, обладающий большим динамическим диапазоном и, соответственно, большой обнаружительной способностью. В качестве измерительного прибора использовался самопищий потенциометр ЛКС-4-003 с минимальной чувствительностью до 5 мкВ, который измерял выходное напряжение на ФЭУ. Быстродействие измерительной системы $\cong 10^{-1}$ с.

Сканирование по длинам волн осуществлялось поворотом дифракционной решетки шаговым двигателем, который имел регулировку по скоростям и управлялся от внешнего запуска. Измерение спектра от 0.4 до 0.9 мкм проводилось за $5 \div 10$ мин.

Спектр пропускания определяется как отношение амплитуд сигналов от прошедшего через объект излучения $U_1(\lambda)$ и прошедшего через чистую подложку из MgO $U_0(\lambda_i)$: $\phi(\lambda_i) = U_1/U_0$.

ЭКСПЕРИМЕНТАЛЬНЫЕ РЕЗУЛЬТАТЫ

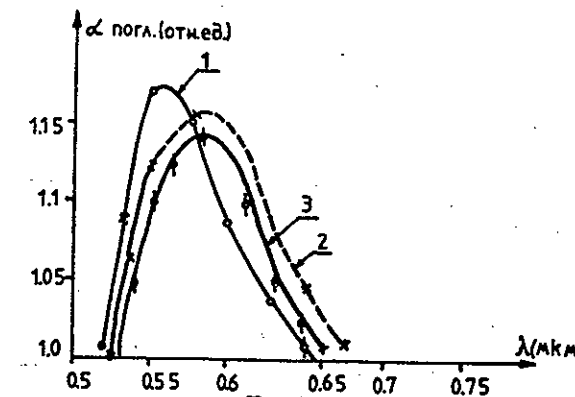


Рис.1. Спектры поглощения при $T = 300K$: 1. $BSCCO - T_c = 80K$; 2. $TBCCO - T_c = 86K$; 3. $TBCCO - T_c = 87K$

Измерение спектров пропускания ВТСП-пленок проводилось в широком интервале температур $5 \div 300 K$. Регулировка температуры в криостате производилась с помощью компактного нагревателя, который непосредственно был установлен внутри криостата. На рис.1 показаны результаты измерения.

поглощения в пленках $BSCCO$, $TBCCO$, выполненного при комнатной температуре. На рис.2 - спектр пропускания $YBCO$ при двух температурах: $T = 300K$ и $T = 5K$. При измерении спектров пропускания из-за значительного поглощения в пленке ширина выходной щели была выбрана достаточно большой: $\Delta\lambda = 80\text{\AA}$. В спектре пропускания $YBCO$ при $T \leq 70K$ обнаружена особенность при $\lambda = 0.65$ мкм. Были проведены измерения зависимости пропускания пленок $BSCCO$, $TBCCO$ от температуры на длине волны $\lambda = 0.65$ мкм, соответствующей максимуму поглощения. В этих измерениях образец охлаждался до минимальной температуры, затем подавался ток в нагреватель и температура в течение определенного времени росла, при этом происходила запись прошедшего сквозь образец света. На Рис.3 показаны эти зависимости.

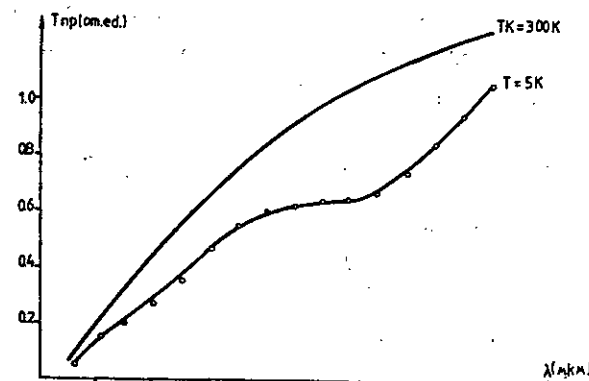


Рис.2. Спектр пропускания $YBCO$ при $T = 300K$, $T = 5K$

Характерным для всех пленок является уменьшение пропускания с уменьшением температуры в диапазоне $60K < T < 300K$. В области температур $T > 300K$ (нагрев пленок) обнаружено уменьшение пропускания с увеличением T , т.е. $d\phi/dt < 0$, причем при нагреве и последующем уменьшении температуры, т.е. при возвращении в начальное состояние, пропускание не восстанавливается. На рис.4 показана зависимость пропускания при нагреве пленки $BSCCO$ до $T = 320K$.

При измерениях спектров пропускания ВТСП-пленок, а также в наших ранних измерениях болометрических характеристик $YBCO$ пленки были

обнаружены фотохромные свойства [7]. Это проявляется в том, что при некотором критическом значении падающего на пленку излучения $P_{\text{П}}$ коэффициент пропускания начинает уменьшаться со временем экспозиции пленки. Оценки падающей мощности, при которой происходит фотохромный эффект (по измеренной температуре спектральной лампы), дают значение:

$$P_{\text{П}} = (2 \div 3) \times 10^{-4} \text{ Вт при } \lambda = 0.5 \div 0.6 \text{ мкм}.$$

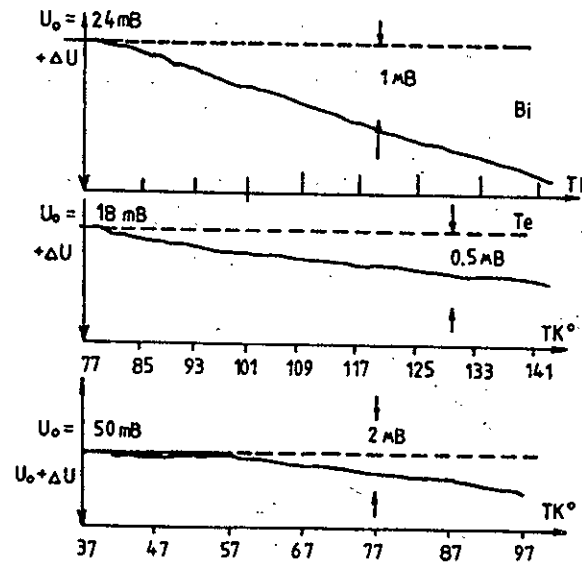


Рис.3. Зависимость пропускания сверхпроводящих пленок от температуры на длине волны $\lambda = 0.65$ мкм. Кривая в центре - $TBCCO$, кривая вверху и внизу - $BSCCO$

При превышении мощности этого порога величина фотохромного эффекта не зависит от падающей мощности.

На рис.5 показано уменьшение пропускания со временем экспозиции пленки

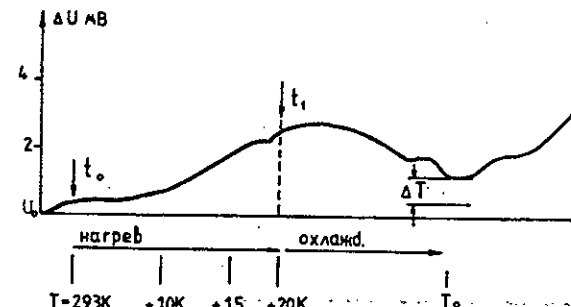


Рис.4. Зависимость пропускания пленки BSCCO от температуры, $\lambda = 0.65 \text{ мкм}$

BSCCO (2212) для длины волны $\lambda = 0.6 \text{ мкм}$, измеренное при разных температурах. На рис.6 представлена зависимость пропускания от времени для пленки TBCCO. Аналогичные измерения были проделаны для YBCO.

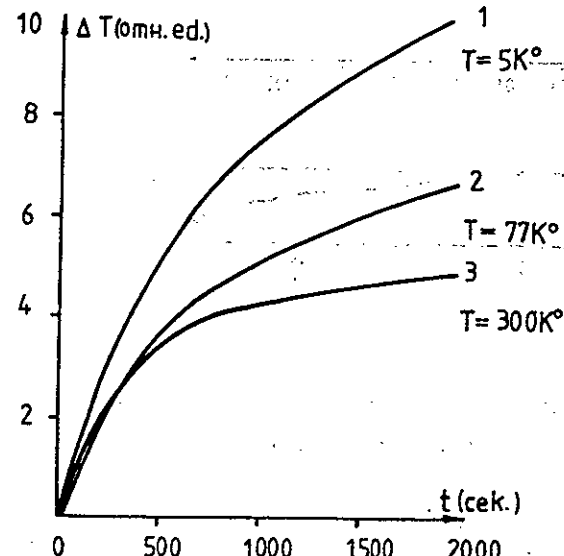


Рис.5. Зависимость изменения пропускания со временем экспозиции для пленки BSCCO при мощности излучения $P > P_{\text{пор.}}$, $\lambda = 0.6 \text{ мкм}$

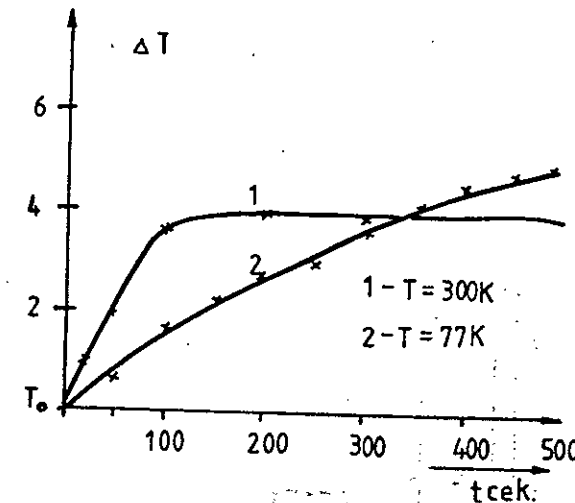


Рис.6. Зависимость изменения пропускания от времени для пленки TBCCO

В таблице 1 представлены средние предельные значения уменьшения пропускания для 3-х разных пленок, измеренные для $\lambda = 0.65 \text{ мкм}$ при $T = 77 \text{ K}$ и для одного значения светового потока.

Таблица 1

Тип пленки	YBCO	BSCCO	TBCCO
$T_c [^{\circ}\text{K}]$	77	80	87
$\Delta\phi/\phi [\%]$	17	12	5

Были проведены спектральные измерения фотохромного эффекта (ФХЭ), из которых видно (рис.7), что наиболее эффективно коротковолновое излучение. Однако на данном этапе измерений, вследствие поглощения излучения в окнах криостата, мы не смогли работать с длинами волн $\lambda < 0.35 \text{ мкм}$. Временные зависимости ФХЭ в наших измерениях описываются зависимостью $|\Delta\phi/\phi_0| = \text{const} \times (1 - e^{-kt})$, параметр k определяет скорость нарастания процесса. В неорганических кристаллах, стеклах его проявление связывают с образованием центров окраски (F -центров) на кислородных вакансиях [8]. Процесс характеризуется следующими скоростями: K_{AB} , т.е. переход из основного

состояния в метастабильное с образованием F -центра; затем следует его релаксация двумя путями: K_T -термическим, и за счет снятия возбуждения проходящим светом: K_{BA} . При этом если пренебречь $K_T \ll K_{BA}$, то зависимость максимального изменения пропускания, вызванного ФХЭ, можно записать в виде

$$|\Delta\phi/\phi_0|_{max} = \frac{K_{AB}}{K_{AB} + K_{BA}}. \quad (1)$$

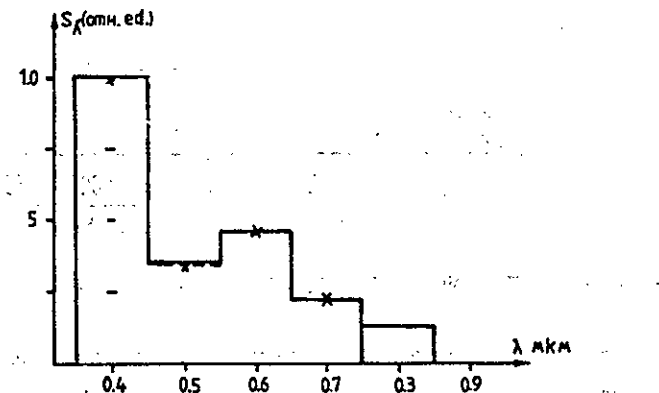


Рис.7. Спектральная зависимость фотохромного эффекта для $BSCCO$

Если обратиться к экспериментальным зависимостям $\phi = \phi(t)$, видно, что при уменьшении температуры меняется скорость релаксации из метастабильного состояния K_{BA} ; $K_{BA} \propto T^\alpha$. Непосредственно в этом эксперименте при однолучевой схеме измерения не представляется возможным измерить кинетику затухания ФХЭ. Для этого необходимо разделить по длинам волн λ возбуждение ФХЭ и измерение фотоиндексированного пропускания. Из таблицы 1 видно, что абсолютная величина ФХЭ коррелирует с T_c , т.е. чем выше T_c , тем меньше кислородных вакансий и тем меньше ФХЭ. Проявление эффекта поглощения света в ВТСП-пленках и его последующая временная релаксация привели к поиску возможного канала снятия возбуждения посредством переизлучения. Были поставлены эксперименты по измерению излучения пленки ВТСП после облучения светом. На рис.8 представлена зависимость сигнала с ФЭУ после перекрытия возбуждающего излучения при разных температурах. Остаточное излучение наблюдалось на всех пленках ВТСП.

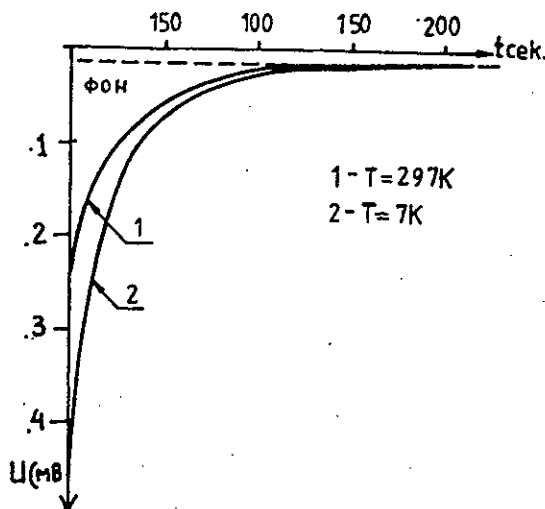


Рис.8. Временная зависимость остаточного оптического излучения $BSCCO$ от времени; $t = 0$ — конец облучения

ОСНОВНЫЕ РЕЗУЛЬТАТЫ

1. Обнаружена особенность в спектре пропускания пленки $YBCO$ при $T < 70K$.
2. В спектрах пропускания ВТСП-пленок обнаружено проявление фотохромного эффекта (светоиндуцированное поглощение) в области спектра $\lambda = 0.3 \div 0.9$ мкм.
3. Величина ФХЭ коррелирует с температурой сверхпроводящего перехода.
4. Обнаружено остаточное оптическое излучение пленки под действием проходящего излучения видимого диапазона.

Список литературы

- [1] Физические свойства высокотемпературных сверхпроводников — Под редакцией Д.М. Гинзберга — М.: Наука/1990, с341

- [2] V.I. Kudinov, I.L. Chaplygin et al. — Physics letters A V 157, № 4,5/1991, pp290-293
- [3] R. Zamboni et al. — Solid State Communs., 70 № 8/1989, pp813-816
- [4] С.И. Тютюнников, В.Н. Шаляпин, В.П. Саранцев — Сообщение ОИЯИ, Р14-92-576/1992
- [5] Н.Р. Скинней и др. — Препринт ОИЯИ, Р14-93-411/1993
- [6] J.M. Jergel et al. — Supr. Sci. Technol., № 5/1990, pp663-670
- [7] С.И. Тютюнников, В.Н. Шаляпин — Препринт ОИЯИ, Р14-92-575/1992
- [8] В.А. Барачевский и др. — Фотохромизм и его применение — М. : Химия/1971, с105

Рукопись поступила в издательский отдел
12 мая 1995 года.